

Intervenciones para la mejora integral del bienestar a lo largo del ciclo vital



DYKINSON EBOOK

José Manuel Aguilar Parra
Rubén Trigueros Ramos
Rocío Collado Soler

Coordinador

INTERVENCIONES PARA LA MEJORA INTEGRAL DEL BIENESTAR A LO LARGO DEL CICLO VITAL

Coordinación

JOSÉ MANUEL AGUILAR PARRA

RUBÉN TRIGUEROS RAMOS

ROCÍO COLLADO SOLER

Este libro ha sido sometido a evaluación por parte de nuestro Consejo Editorial
Para mayor información, véase www.dykinson.com/quienes_somos

Los autores declaran haber recibido el siguiente apoyo financiero para la autoría y/o publicación de este libro: Plan Propio de Investigación y Transferencia de la Universidad de Almería, financiado por la Consejería de Universidad, Investigación e Innovación dentro del programa 54ª “Investigación Científica Cofinanciado” por el Programa Operativo FEDER Andalucía. 2021-2027 dentro del Objetivo Específico RS011 “ Desarrollar y mejorar las capacidades de investigación e innovación y asimilar tecnologías avanzadas” (Proyecto Ref: P_FORT_GRUPOS_2023/05).

Proyectos de Innovación Docente de la Universidad de Almería
(Ref: 24/25-1-41C)



*Este ebook se encuentra registrado bajo licencia Creative Commons.
Reconocimiento-NoComercial-SinObraDerivada 4.0 Internacional (CC BY-NC-ND 4.0)
Para más información, consulte la web:
<https://creativecommons.org/share-your-work/licenses/>*

© Copyright by
Los autores
Madrid, 2025

Editorial DYKINSON, S.L.
Meléndez Valdés, 61 - 28015 Madrid
Teléfono (+34) 915442846 - (+34) 915442869
e-mail: info@dykinson.com
<http://www.dykinson.es>
<http://www.dykinson.com>

ISBN: 979-13-7006-456-3
DOI: <https://doi.org/10.14679/4264>

Preimpresión:
Realizada por los autores

ÍNDICE

CAPÍTULO 1. EL JUEGO Y EL APRENDIZAJE COOPERATIVO COMO OPORTUNIDAD PARA EL DESARROLLO DE HABILIDADES SOCIALES DESDE LA INNOVACIÓN DOCENTE: UNA REVISIÓN SISTEMÁTICA

MARINA ALFÉREZ-PASTOR Y JOSÉ MANUEL AGUILAR-PARRA 7

CAPÍTULO 2. INNOVACIÓN DOCENTE MEDIANTE UNA PROPUESTA DE GAMIFICACIÓN PARA EL DESARROLLO DE COMPETENCIAS SOCIOEMOCIONALES EN EL ALUMNADO

MARINA ALFÉREZ-PASTOR Y JOSÉ MANUEL AGUILAR-PARRA 20

CAPÍTULO 3. ENTRENAMIENTO EN COMPRENSIÓN DE TEORÍA DE LA MENTE Y TRASTORNO DEL ESPECTRO AUTISTA: UN ESTUDIO DE CASO

NOELIA NAVARRO GÓMEZ Y RUBÉN TRIGUEROS-RAMOS 29

CAPÍTULO 4. INNOVACIÓN DOCENTE: MOTIVACIÓN HACIA LA ASIGNATURA “EVALUACIÓN E INTERVENCIÓN EDUCATIVA ANTE LOS TRASTORNOS DE LA AUDICIÓN Y EL LENGUAJE” TRAS UNA PROPUESTA GAMIFICADA

ROCÍO COLLADO-SOLER 39

CAPÍTULO 5. PROYECTO DE INTERVENCIÓN ESCOLAR. RECREOS ACTIVOS PARA FOMENTAR EL BIENESTAR DEL ALUMNADO DE EDUCACIÓN PRIMARIA Y DE EDUCACIÓN ESPECIAL

VANESA JIMÉNEZ-FÁBREGA 45

CAPÍTULO 6. CONOCIMIENTOS Y ACTITUDES HACIA LOS OBJETIVOS DE DESARROLLO SOSTENIBLE EN UNA MUESTRA DE DOCENTES Y ESTUDIANTES DE MAGISTERIO

DEBORAH NEGRÍN-PERAZA Y GONZALO PEÑA-MUÑANTE..... 52

CAPÍTULO 7. ANÁLISIS DE LA ESCALA DE SATISFACCIÓN CON LA VIDA MEDIANTE UN MODELO DE RASCH EN UNA MUESTRA DE ESTUDIANTES UNIVERSITARIOS

GONZALO PEÑA-MUÑANTE Y DEBORAH NEGRÍN-PERAZA 61

CAPÍTULO 8. EL MÉTODO 5L: LA COMPRENSIÓN LECTORA COMO ESTRATEGIA PARA MEJORAR EL RENDIMIENTO Y REDUCIR LA ANSIEDAD HACIA EL APRENDIZAJE MATEMÁTICO

VANESA MUÑOZ MEIZOSO 72

CAPÍTULO 9. LA SALUD MENTAL DE LOS PROFESIONALES QUE TRABAJAN CON PERSONAS CON TEA

M^a DEL MAR MEGÍAS TORRES..... 77

CAPÍTULO 10. PROYECTO DE INNOVACIÓN EDUCATIVA EN ESO: AULA HOGAR

M^a DEL MAR MEGÍAS TORRES..... 88

CAPÍTULO 11. EL ESPEJO DISTORSIONADO DE LOS ADOLESCENTES. NUEVOS MEDIOS DE RELACIÓN DIGITAL	
HUGO ANTONIO MARTÍNEZ CAÑESTRO	96
CAPÍTULO 12. ¿NO LE DAS SENTIDO A TU VIDA? EL SUICIDIO NO ES LA SOLUCIÓN	
HUGO ANTONIO MARTÍNEZ CAÑESTRO	107
CAPÍTULO 13. METODOLOGÍAS ACTIVAS Y SU IMPACTO EN LA PSICOLOGÍA DE LA EDUCACIÓN: CONTEXTOS MARGINALES DE ÉTNICA GITANA	
ISABEL DAMIANA ALONSO LÓPEZ	119
CAPÍTULO 14. MOTIVACIÓN Y DESARROLLO EMOCIONAL EN EL CONTEXTO ACADÉMICO	
ISABEL DAMIANA ALONSO LÓPEZ	127
CAPITULO 15. EL PAPEL DEL DESARROLLO PROFESIONAL DOCENTE EN LA EDUCACIÓN FINANCIERA: UNA REVISIÓN SISTEMÁTICA DE LA LITERATURA	
RUBÉN TRIGUEROS RAMOS Y TALÍA TRIGUEROS RAMOS	137
CAPITULO 16. JUEGOS DE MESA PARA EL DESARROLLO SENSORIAL EN LA INFANCIA CON DISCAPACIDAD INTELECTUAL	
PAULA RODRÍGUEZ RIVERA Y ANA MANZANO LEÓN	159
CAPITULO 17. REVISIÓN DE LA LITERATURA SOBRE PREOCUPACIÓN, MIEDO A LA EVALUACIÓN NEGATIVA, AUTOEFICACIA Y SOPORTE SOCIAL EN LOS PROFESIONALES DE LA EDUCACIÓN SOCIAL	
FRANCISCO NARCISO ENCISO VELASCO, JOSÉ MANUEL AGUILAR PARRA, JERÓNIMO JAVIER GONZÁLEZ BERNAL Y EVA URBÓN LADRERO.....	167
CAPITULO 18. COMPETENCIA DIGITAL DOCENTE Y PROTECCIÓN DE DATOS EN EL CONTEXTO EDUCATIVO	
RAFAEL MARTÍNEZ EGEA	178

CAPÍTULO 7

ANÁLISIS DE LA ESCALA DE SATISFACCIÓN CON LA VIDA MEDIANTE UN MODELO DE RASCH EN UNA MUESTRA DE ESTUDIANTES UNIVERSITARIOS

Gonzalo Peña-Muñante¹

Deborah Negrín-Peraza²

¹*Universidad Nacional de Educación a Distancia. Madrid, España*

²*Universidad de Almería, Almería, España*

DOI: <https://doi.org/10.14679/4271>

Resumen

Este estudio evaluó las propiedades psicométricas de la *Escala de Satisfacción con la Vida* (SWLS) en una muestra de 184 estudiantes universitarios españoles, utilizando el *Modelo de Escala de Clasificación* (MEC) de la Teoría de Respuesta al Ítem (TRI), específicamente dentro del marco del modelo Rasch. Se encontró que todos los ítems de la escala presentaron un buen ajuste al modelo, con categorías de respuesta ordenadas adecuadamente y una calibración coherente de ítems y personas. La función de información del test mostró una alta precisión, especialmente entre niveles medios y bajos de satisfacción. En conjunto, los resultados respaldan la validez, fiabilidad y capacidad discriminativa de la escala para medir la satisfacción con la vida en esta población.

Palabras Clave: Satisfacción con la vida, Modelo Rasch, Propiedades psicométricas, Teoría de Respuesta al Ítem (TRI)

1. INTRODUCCIÓN

La satisfacción con la vida es un constructo esencial en la psicología clínica, representando un componente cognitivo crucial del bienestar subjetivo. Según Pavot y Diener (2008), la satisfacción con la vida se refiere a la evaluación cognitiva que un individuo hace sobre la calidad global de su vida. Este constructo puede desglosarse en dimensiones específicas como la familia, los amigos, la escuela y el trabajo (Meléndez et al., 2009; Park et al., 2004). La investigación sobre la satisfacción con la vida ha sido extensa, abordando su desarrollo, correlatos y consecuencias a lo largo de la vida (Kaçmaz y Çelik, 2025; Tanwar y Khindri, 2024). Así, la investigación previa ha demostrado que altos niveles de satisfacción con la vida están asociados con resultados positivos, como mayor bienestar y calidad de vida, longevidad, relaciones interpersonales valiosas, y mayor rendimiento académico y laboral (Bieda et al., 2019). En contraste, bajos niveles de satisfacción con la vida están relacionados con resultados negativos, como problemas de salud mental y física y problemas de abuso de sustancias (Schick et al., 2023).

La Escala de Satisfacción con la Vida (SWLS; Diener et al., 1985) es el instrumento más ampliamente utilizado para medir la satisfacción con la vida en diferentes grupos demográficos. Aunque esta escala ha demostrado ser válida y fiable en diversos contextos culturales (Jang et al., 2017; Jovanović et al., 2022), la revisión de la literatura sugiere que en la evaluación de sus propiedades psicométricas se ha utilizado principalmente técnicas procedentes de la Teoría Clásica de los Test (TCT). La TCT, que ha dominado la evaluación psicométrica durante décadas, ha sido a veces criticada por su dependencia de la muestra y el conjunto de ítems utilizados, lo que limita la generalización de los resultados obtenidos a través de este enfoque (Muñiz, 2010; Progar y Sočan, 2008). En contraste, la Teoría de Respuesta al Ítem (TRI), especialmente los modelos de Rasch, ofrece una solución a estas limitaciones al proporcionar información detallada sobre la dificultad de los ítems de manera independiente de la muestra utilizada, lo que permite comprender cómo diferentes grupos interpretan los ítems de una escala (Petrillo et al., 2015). No obstante, ambas teorías no son mutuamente excluyentes y se pueden emplear de forma conjunta para analizar una escala (Moreta-Herrera et al., 2024).

En cuanto a los modelos de TRI y la SWLS, algunos estudios previos han empleado el análisis de Rasch para examinar las propiedades psicométricas de esta escala en diferentes contextos culturales y grupos demográficos. Por ejemplo, Areepattamannil et al. (2019) aplicaron el modelo de medición de Rasch a una muestra de niños nepaleses de entre 10 y 12 años, encontrando que la SWLS cumplía con los supuestos del modelo, presentaba una jerarquía coherente de dificultad de los ítems, y mostraba invarianza en función del sexo y la edad, lo que respalda su adecuación para esta población. Por su parte, Schutte et al. (2021) analizaron la escala en muestras de Sudáfrica e Italia y concluyeron que, si bien la SWLS mantenía su unidimensionalidad y no mostraba funcionamiento diferencial de los ítems según variables demográficas, su sensibilidad era limitada en niveles altos del constructo, lo que sugiere una posible restricción en su capacidad discriminativa en poblaciones con alta satisfacción vital. Finalmente, Natanael et al. (2024) evaluaron la versión indonesia de la SWLS en una muestra universitaria y encontraron que el modelo de Rasch proporcionaba una evaluación más precisa que el análisis factorial confirmatorio, validando su estructura unidimensional, la adecuación de la escala de respuesta de cinco puntos, y la ausencia de sesgo de género en los ítems de dificultad moderada y alta.

Considerando lo anterior y utilizando un diseño transversal, el presente estudio pretendía evaluar las propiedades psicométricas de la Escala de Satisfacción con la Vida en una muestra española mediante un modelo de medición de Rasch.

2. MÉTODO

2.1. Modelo de TRI empleado

Se empleó el Modelo de Escala de Clasificación (MEC), un modelo politómico de Teoría de Respuesta a los Ítems (TRI) perteneciente a la familia de modelos de Rasch. En este modelo, el formato de respuesta es uniforme para todos los ítems del test (p.e., tipo Likert) y se asume que el valor de cada categoría de respuesta es constante. La única diferencia entre los ítems radica en su localización dentro del continuo unidimensional de la variable medida (Royal et al., 2010).

2.2. Participantes

La muestra fue seleccionada a través de muestreo no probabilístico por bola de nieve, y estuvo compuesta por un total de 184 estudiantes universitarios españoles, con edades comprendidas entre los 18 y 24 años ($M = 21.51$, $DT = 1.93$). En lo que respecta al sexo, 72 (39.00%) eran hombres y 112 (61.00%) eran mujeres.

2.3. Variables e instrumentos. *Satisfacción con la vida.* Se utilizó la escala de cinco ítems de Diener et al. (1985), adaptada al español por Atienza et al. (2000), que va de 1 (*totalmente en desacuerdo*) a 5 (*totalmente de acuerdo*). En el presente estudio, el coeficiente alfa de Cronbach fue de .90.

2.4. Procedimiento

El cuestionario se diseñó en la plataforma Google Forms y el enlace del mismo se distribuyó a los participantes mediante redes sociales, solicitando difusión entre sus amigos y compañeros de clase. Al inicio del cuestionario se solicitó a los participantes su consentimiento informado, habiendo explicado previamente el carácter anónimo y voluntario de la participación y el uso de la información recogida. El tiempo estimado para completar el cuestionario estuvo en torno a 5 minutos. Tras la administración del

cuestionario, los datos fueron codificados con el programa estadístico SPSS (versión 30) y analizados con el software libre jMetrik (versión 4.1.1).

3. RESULTADOS

3.1. Ajuste de los ítems

En primer lugar, se examinó el ajuste entre los datos y el modelo mediante el análisis de los estadísticos de ajuste de los ítems. El análisis del ajuste de los ítems al modelo permitió identificar cuáles funcionaban correctamente y cuáles no. Según Andrich (2016), los valores situados dentro del intervalo de 0.50 a 1.50 se consideran indicadores de un ajuste aceptable. Como se muestra en la Tabla 1, los valores de “infit” y “outfit” se encuentran dentro de estos límites, lo que sugiere un buen ajuste. Por tanto, se puede afirmar que el conjunto de ítems presenta un ajuste aceptable al MEC.

Tabla 1

Ajuste de los ítems

Ítem	INFIT	OUTFIT
1. En la mayoría de los aspectos mi vida es como quiero que sea	0.88	0.88
2. Las circunstancias de mi vida son buenas	0.99	1.01
3. Estoy satisfecho con mi vida	0.71	0.71
4. Hasta ahora he conseguido de la vida las cosas que considero importantes	0.98	0.99
5. Si pudiera vivir mi vida otra vez, la repetiría tal y como ha sido	1.39	1.37
Promedio (\bar{x})	0.93	0.93

3.2. Calibración de los ítems

En segundo lugar, se realizó la calibración de los ítems mediante el valor de medida o localización del ítem y de cada categoría del ítem en el continuo de medida. La calibración de los ítems proporciona información sobre la posición que cada ítem del test ocupa en el continuo de la variable medida, representada por δ_i , que corresponde al valor de escala del ítem i . Todos los ítems de esta escala tienen cinco alternativas de respuesta, lo que supone cuatro pasos para cada ítem. Estos pasos están delimitados por el parámetro de umbral entre categorías de respuestas (τ_j).

En el caso del MEC, los cuatro parámetros de umbral son iguales para todos los ítems, y la diferencia entre ellos radica en la localización de cada ítem en el continuo. Además, se muestran los errores de estimación para cada ítem, los cuales proporcionan información específica sobre la calidad de la calibración en diferentes puntos del continuo. Para cada ítem, los parámetros de los pasos se obtienen sumando el valor de δ_i al correspondiente valor de τ (τ_1 para el primer paso, τ_2 para el segundo, y así sucesivamente).

Los resultados de la calibración de los ítems se muestran en la Tabla 2. En ella se observa que los ítems no comparten la misma localización en el continuo. El ítem con mayor localización es el 5 (valor de calibración de +0.60), seguido por los ítems 4, 2 y 1; el ítem con menor localización es el 3 (valor de calibración de -0.61). Además, al analizar los umbrales de los pasos de los ítems, se aprecia que éstos aparecen secuenciados.

Tabla 2*Calibración de los ítems*

Ítem	δ_i	Error δ_i	Categoría	τ_j	Error τ_j
Ítem 1	-0.16	0.02	0		
Ítem 2	0.03	0.02	1	-3.61	0.03
Ítem 3	-0.61	0.02	2	-1.57	0.02
Ítem 4	0.14	0.02	3	1.02	0.02
Ítem 5	0.60	0.02	4	4.16	0.03

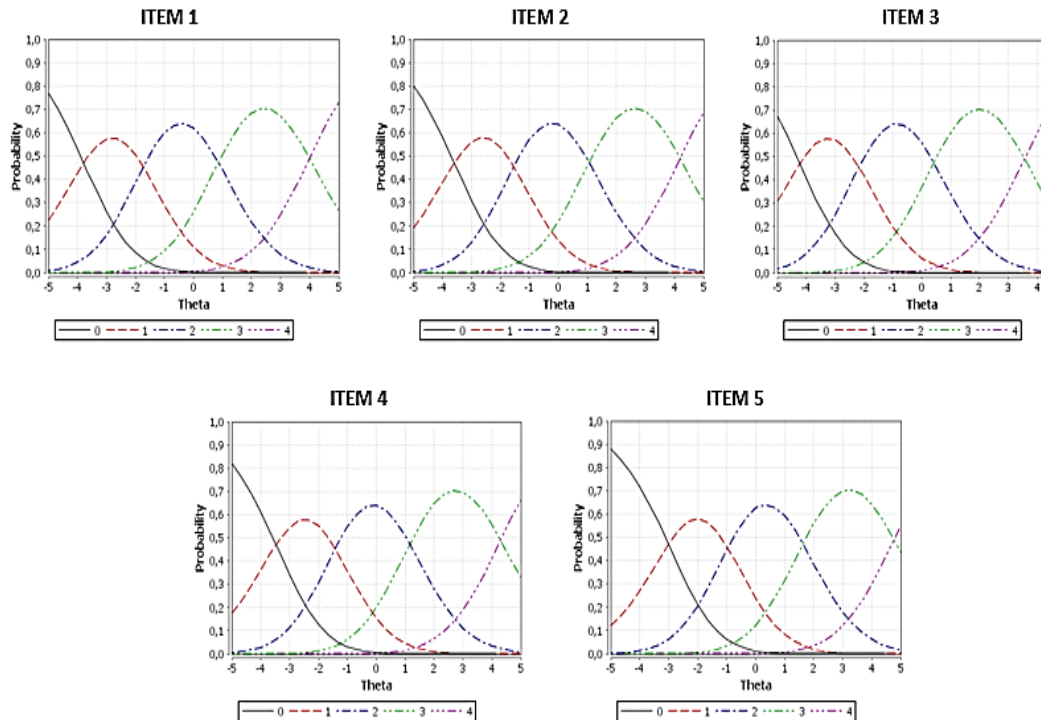
3.3. Curvas características de los ítems

En tercer lugar, se elaboraron las curvas características de los ítems y sus categorías. Las Curvas Características de las Categorías de Respuestas (CCCR) se generan a partir de los parámetros del umbral de adhesión correspondientes a los pasos de cada ítem. En el MEC, estos parámetros son idénticos para todos los ítems, y la diferencia entre ellos se debe a su ubicación en el continuo de adhesión medido. Por tanto, en el MEC, las CCCR de todos los ítems tienen la misma forma.

En este test, cada ítem cuenta con cinco categorías de respuesta, cada una representada por una curva. Como se muestra en la Figura 1, cada categoría de respuesta es la más probable en un determinado segmento del continuo, lo que sugiere un funcionamiento adecuado de las mismas. En cuanto a las regiones de respuestas más probables, delimitadas por los parámetros umbrales de los pasos del ítem, se observa que siempre aparecen definidas cinco regiones.

Figura 1

Curvas características de los ítems y sus categorías



3.4. Localización de las personas en el continuo

En cuarto lugar, se determinó la medida de las personas mediante el valor de medida o localización del ítem en el continuo de medida. Sin embargo, antes de ubicar a las personas en el continuo, se calculó el coeficiente de separabilidad, que es equivalente al coeficiente de fiabilidad (α) en la Teoría Clásica de los Test (TCT). Este coeficiente indica el grado de reproducibilidad de las localizaciones obtenidas tanto para las personas como para los ítems. Con un valor de 0 indicando nula separabilidad y 1 indicando un grado muy alto, se obtuvo un coeficiente de separabilidad de 0.99 para los ítems, lo que sugiere que la muestra es adecuada para una calibración estable. Para las personas, el coeficiente fue de 0.89; aunque ligeramente inferior al de los ítems, también indica que los ítems utilizados fueron suficientes para diferenciar entre los distintos niveles del constructo. En concreto, el índice de separación para las personas arrojó un valor de 2.84, dividiendo a la muestra en cuatro estratos; mientras que para los ítems, el índice de separación fue de 16.32, lo que resultó en una división de 22 estratos.

En cuanto a la localización de las personas, el valor *theta* representa su posición a lo largo del continuo del constructo medido. Los valores correspondientes a la muestra del estudio se presentan en la Tabla 3.

Tabla 3*Valor de localización de las personas en el continuo*

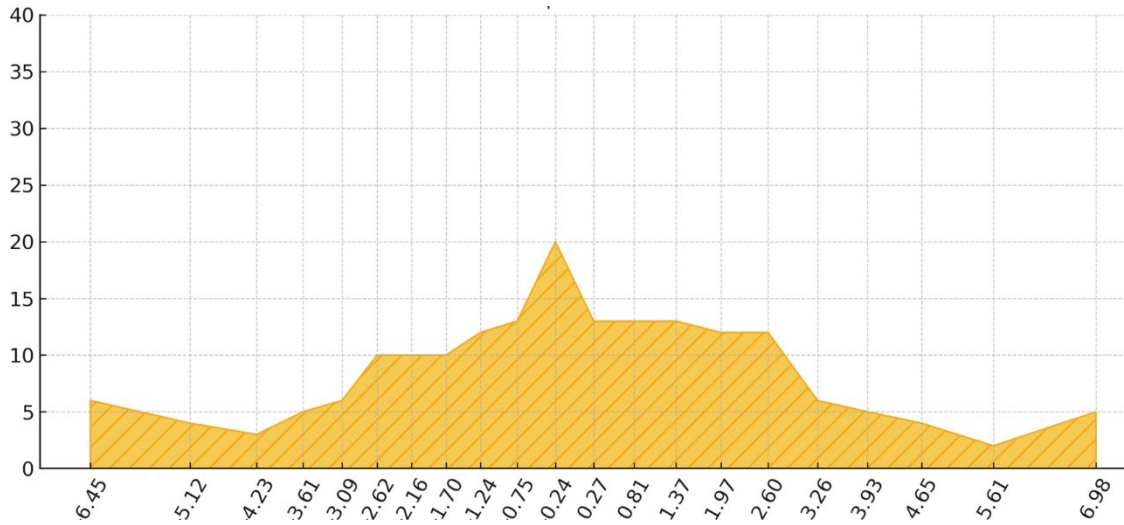
Valor	fi	Fi	fi%	Fi%
-6.45	6	6	3.26	3.26
-5.12	4	10	2.17	5.43
-4.23	3	13	1.63	7.07
-3.61	5	18	2.72	9.78
-3.09	6	24	3.26	13.04
-2.62	10	34	5.43	18.48
-2.16	10	44	5.43	23.91
-1.70	10	54	5.43	29.35
-1.24	12	66	6.52	35.87
-0.75	13	79	7.07	42.93
-0.24	20	99	10.87	53.80
0.27	13	112	7.07	60.87
0.81	13	125	7.07	67.93
1.37	13	138	7.07	75.00
1.97	12	150	6.52	81.52
2.60	12	162	6.52	88.04
3.26	6	168	3.26	91.30
3.93	5	173	2.72	94.02
4.65	4	177	2.17	96.20
5.61	2	179	1.09	97.28
6.98	5	184	2.72	100.00
Total	184		100.00	

Nota. fi: Frecuencia. Fi: Frecuencia acumulada. fi%: Porcentaje. Fi%: Porcentaje acumulado.

En base a lo anterior, como se muestra en la Figura 2, la mayoría de las personas se encuentran en el centro del continuo. No obstante, también se observan puntuaciones extremas: tanto hacia el extremo inferior (desde -3 hacia atrás), donde podrían situarse 24 personas; como hacia el extremo superior (desde +3 hacia adelante), donde se ubicarían 20 personas. Dentro del intervalo comprendido entre -3 y +3, se encuentran las 140 personas restantes, con la mayor frecuencia (20 personas) en el valor -0.24.

Figura 2

Medida de las personas en el continuo

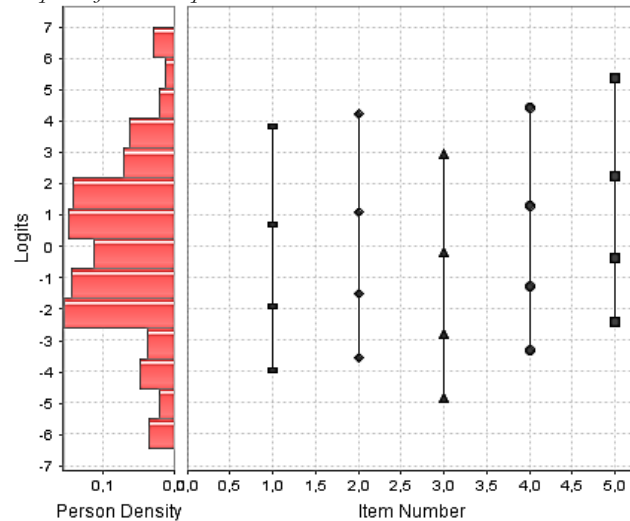


3.5. Mapa conjunto ítem-personas

En quinto lugar, se realizó la calibración conjunta de personas e ítems en un mapa (ver Figura 3). En este mapa, la distribución de las puntuaciones *theta* estimadas para todas las personas se ubica en el recuadro de la izquierda, mientras que a la derecha se representan los cinco ítems del test, con cada línea correspondiente a un ítem. Las categorías de respuesta están representadas por diferentes formas geométricas (rectángulo, rombo, triángulo, círculo o cuadrado) según el ítem, indicando la localización de los cuatro pasos entre ítems, que mantienen una distancia constante entre sí. De este modo, lo único que varía es la ubicación del ítem en el continuo. En este test, se observa que la mayoría de los ítems se agrupan en la misma zona del continuo (de -4 a +4 logits), con la excepción del ítem 3, que se desplaza ligeramente por debajo de -4, y el ítem 5, que lo hace levemente por encima de +4 logits.

Figura 3

Mapa conjunto ítem-personas

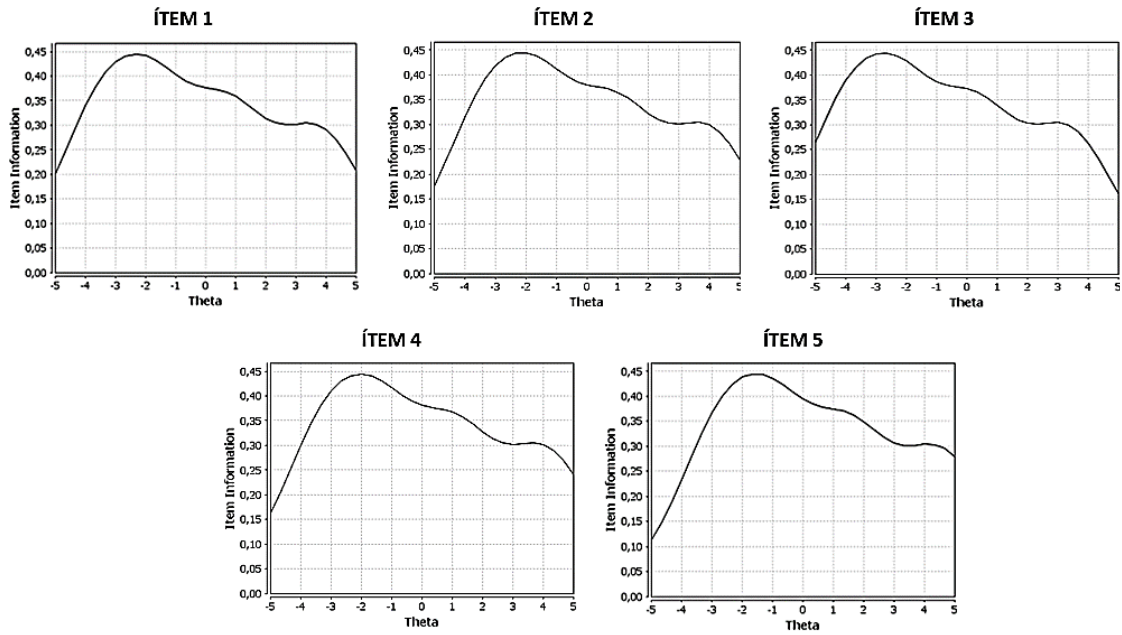


3.6. Función de información del ítem-test

En sexto y último lugar, se analizó la función de información (error de medida) de los ítems y del test. Como se muestra en la Figura 4, las funciones de información de cada ítem del test indican que los ítems son más informativos en el rango de valores θ entre -4 y -1, con el ítem 5 más cercano a 0 y el ítem 3 como el más alejado. Por otro lado, todos los ítems son menos informativos en el rango de +2 a +4, siendo en este caso el ítem 3 el más cercano a 0 y el ítem 5 el más distante.

Figura 4

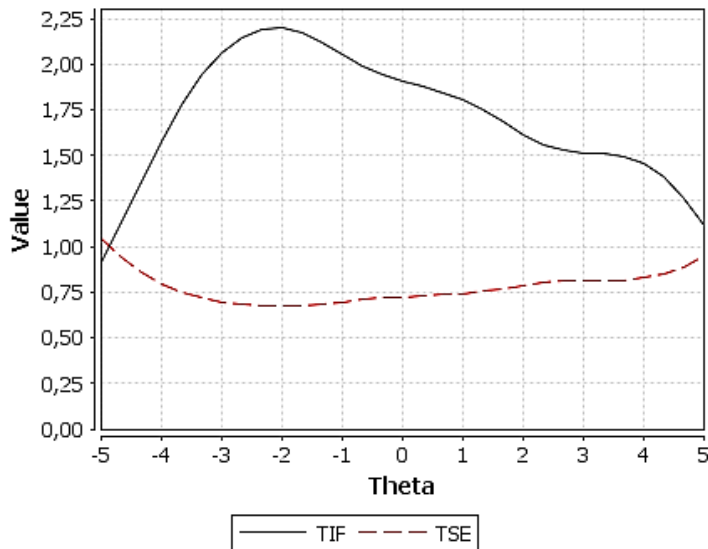
Función de información de los ítems del test



Asimismo, en la Figura 5 se muestra la función de información del test, la cual refleja la precisión del test para los diferentes niveles del constructo. La función de información (TIF) se representa con una línea continua, mientras que el error de medida (TSE) se representa con una línea discontinua. Se observa que el test es más informativo en los niveles entre -3 y -1, y menos informativo en los niveles entre +3 y +4. En cuanto al error de medida, el test mantiene una precisión prácticamente constante en 0.75 para valores θ entre -4 y +4, lo que sugiere que el error asociado a la medida de todas las personas dentro de este intervalo es muy similar.

Figura 5

Función de información del test



4. DISCUSIÓN

El presente estudio ha tenido como objetivo evaluar las propiedades psicométricas de la Escala de Satisfacción con la Vida mediante un modelo de medición de Rasch. Los resultados obtenidos ponen de manifiesto potencialidades y limitaciones de esta escala cuando es administrada a una muestra de estudiantes universitarios españoles.

En relación con el análisis del ajuste de los ítems, los resultados indican que todos presentan un ajuste adecuado al modelo, lo que constituye un indicador del buen funcionamiento de los ítems en el test. Esto sugiere que cada uno de ellos contribuye de manera apropiada a la medición del constructo de satisfacción con la vida.

En lo que respecta al análisis de las categorías de respuesta, el MEC asume un ordenamiento progresivo de los umbrales que dividen el continuo unidimensional en distintas categorías. La estimación empírica de estos umbrales mostró una secuencia ordenada y coherente con la estructura teórica esperada, lo que evidencia un funcionamiento adecuado de las categorías. En este sentido, el análisis de las CCCR revela que las cinco categorías son, en alguna región del continuo, las más probables de ser seleccionadas. Esto indica que cada una aporta información diferenciada y útil a lo largo del continuo, reflejando un funcionamiento óptimo de las alternativas de respuesta en el test.

En lo que se refiere a la localización de las personas en el continuo de la variable, se observa una concentración en torno a valores medios, con una tendencia decreciente hacia los extremos. No obstante, se identificaron ligeros repuntes en ambos extremos, lo que podría interpretarse como una mayor presencia de personas con niveles particularmente altos o bajos de satisfacción con la vida.

En cuanto a la calibración conjunta de ítems y personas, se observa que los ítems tienden a ubicarse en una misma región del continuo, y que la mayoría de las personas se sitúan en el centro de dicha distribución. Esta superposición adecuada entre personas e ítems sugiere una buena correspondencia entre el nivel de la muestra y la dificultad de los ítems, lo que refuerza la calidad psicométrica del test.

Finalmente, las funciones de información, tanto de cada ítem como del test en su conjunto, muestran un error de medición bajo y relativamente constante a lo largo del continuo. Esto implica que el test ofrece una medición precisa y consistente en un amplio rango de la variable, lo que refuerza su utilidad para evaluar distintos niveles de satisfacción con la vida.

5. REFERENCIAS

- Andrich, D. (2016). Rasch rating-scale model. En W. J. van der Linden (Ed.), *Handbook of Item Response Theory: Models* (Vol. 1, pp. 75-94). Chapman and Hall/CRC. <https://doi.org/10.1201/9781315374512>
- Areepattamannil, S. y Cairns, D. (2019). Examining the psychometric properties of a modified Students' Life Satisfaction Scale: A Rasch measurement approach. *Psychological Studies*, 64(4), 455-464. <https://doi.org/10.1007/s12646-019-00510-5>
- Atienza, F. L., Pons, D., Balaguer, I. y García-Merita, M. (2000). Propiedades psicométricas de la Escala de Satisfacción con la Vida en adolescentes. *Psicothema*, 12(2), 314-319. <https://reunido.uniovi.es/index.php/PST/article/view/7597>
- Bieda, A., Hirschfeld, G., Schönfeld, P., Brailovskaia, J., Lin, M. y Margraf, J. (2019). Happiness, life satisfaction and positive mental health: Investigating reciprocal effects over four years in a Chinese student sample. *Journal of Research in Personality*, 78, 198-209. <https://doi.org/10.1016/j.jrp.2018.11.012>
- Diener, E., Emmons, R. A., Larsen, R. J. y Griffin, S. (1985). The Satisfaction with Life Scale. *Journal of Personality Assessment*, 49(1), 71-75. https://doi.org/10.1207/s15327752jpa4901_13
- Jang, S., Kim, E. S., Cao, C., Allen, T. D., Cooper, C. L., Lapierre, L. M., O'Driscoll, M. P., Sanchez, J. I., Spector, P. E., Poelmans, S. A. Y., Abarca, N., Alexandrova, M., Antoniou, A.-S., Beham, B., Brough, P., Carikci, I., Ferreira, P., Fraile, G., Geurts, S., . . . Woo, J.-M. (2017). Measurement invariance of The Satisfaction With Life Scale across 26 countries. *Journal of Cross-Cultural Psychology*, 48(4), 560-576. <https://doi.org/10.1177/0022022117697844>
- Jovanović, V., Rudnev, M., Arslan, G., Buzea, C., Dimitrova, R., Góngora, V., Guse, T., Ho, R. T. H., Iqbal, N., Jámboři, S., Jhang, F.-H., Kaniušonytė, G., Li, J., Lim, Y.-J., Lodi, E., Mannerström, R., Marcionetti, J., Neto, F., Osin, E., . . . Žukauskienė, R. (2022). The Satisfaction with Life Scale in adolescent samples: Measurement invariance across 24 countries and regions, age, and gender. *Applied Research in Quality of Life*, 17(4), 2139-2161. <https://doi.org/10.1007/s11482-021-10024-w>
- Kaçmaz, C. y Çelik, O. T. (2025). Life satisfaction in adolescence: A bibliometric analysis. *Child Indicators Research*. <https://doi.org/10.1007/s12187-025-10249-3>
- Meléndez, J. C., Tomás, J. M., Oliver, A. y Navarro, E. (2009). Psychological and physical dimensions explaining life satisfaction among the elderly: A structural model examination. *Archives of Gerontology and Geriatrics*, 48(3), 291-295. <https://doi.org/10.1016/j.archger.2008.02.008>
- Moreta-Herrera, R., Perdomo-Pérez, M., Reyes-Valenzuela, C., Gavilanes-Gómez, D., Rodas, J. A. y Rodríguez-Lorenzana, A. (2024). Analysis from the classical test theory and item response theory of the Satisfaction with Life Scale (SWLS) in an Ecuadorian and Colombian sample. *Journal of Human Behavior in the Social Environment*, 34(5), 739-751. <https://doi.org/10.1080/10911359.2023.2187915>
- Muñiz, J. (2010). Las Teorías de los tests: Teoría Clásica y Teoría de Respuesta a los Ítems. *Papeles del Psicólogo*, 31(1), 57-66. <https://www.papelesdelpsicologo.es/pdf/1796.pdf>
- Natanael, Y., Ramdani, Z., Azizah, N. A., Fahmi, I. y Novanto, Y. (2024). Indonesian version of Satisfaction with Life Scale, a psychometric evaluation with Rasch model. *Psychological Thought*, 17(1), 82-102. <https://doi.org/10.37708/psyc.v17i1.814>
- Park, N., Huebner, E. S., Laughlin, J. E., Valois, R. F. y Gilman, R. (2004). A cross-cultural comparison of the dimensions of child and adolescent life satisfaction reports. *Social Indicators Research*, 66(1-2), 61-79. <https://doi.org/10.1023/B:SOCI.0000007494.48207.dd>
- Pavot, W. y Diener, E. (2008). The Satisfaction With Life Scale and the emerging construct of life satisfaction. *The Journal of Positive Psychology*, 3(2), 137-152. <https://doi.org/10.1080/17439760701756946>
- Petrillo, J., Cano, S. J., McLeod, L. D. y Coon, C. D. (2015). Using classical test theory, item response theory, and Rasch measurement theory to evaluate patient-reported outcome measures: A comparison of worked examples. *Value in Health*, 18(1), 25-34. <https://doi.org/10.1016/j.jval.2014.10.005>
- Progar, Š. y Sočan, G. (2008). An empirical comparison of Item Response Theory and Classical Test Theory. *Horizons of Psychology*, 17(3), 5-24. http://psiholoska-obzorja.si/arkiv_clanki/2008_3/progar_socan.pdf
- Royal, K. D., Ellis, A., Ensslen, A. y Homan, A. (2010). Rating scale optimization in survey research: An application of the Rasch rating scale model. *Journal of Applied Quantitative Methods*, 5(4), 607-617. http://www.jaqm.ro/issues/volume-5,issue-4/7_royal_ellis_ensslen_homan.php

Análisis de la escala de satisfacción con la vida mediante un modelo de Rasch en una muestra de estudiantes universitarios

- Schick, M. R., Trinh, C. D., Todi, A. A. y Spillane, N. S. (2023). All positive constructs are not equal: Positive affect, happiness, and life satisfaction in relation to alcohol and mental health outcomes. *International Journal of Applied Positive Psychology*, 8(3), 467-484. <https://doi.org/10.1007/s41042-023-00103-8>
- Schutte, L., Negri, L., Delle Fave, A. y Wissing, M. P. (2021). Rasch analysis of the Satisfaction with Life Scale across countries: Findings from South Africa and Italy. *Current Psychology*, 40, 4908-4917. <https://doi.org/10.1007/s12144-019-00424-5>
- Tanwar, S. y Khindri, A. (2024). Three decades of life satisfaction: A bibliometric review and research agenda. *FIIB Business Review*. <https://doi.org/10.1177/23197145231220439>